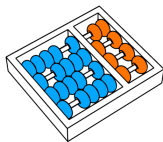


Partição de Grafos Eulerianos em Circuitos

Pedro Olímpio N. de O. Pinheiro



Orientador: Prof. Dr. Zanoni Dias
Coorientador: Prof. Dr. Cid C. de Souza

Sumário

- 1 Introdução
- 2 Fundamentação Teórica
- 3 Máxima Partição em Circuitos
- 4 Máxima Partição em Circuitos Alternados
- 5 Considerações Finais

Introdução

Introdução

- A partição de um conjunto consiste em dividir esse conjunto em subconjuntos disjuntos, em que cada elemento do conjunto original esteja em exatamente um subconjunto
- Nos problemas abordados neste trabalho, o objetivo é particionar o conjunto de arestas de um grafo, de forma que cada subconjunto induza um circuito no grafo original
- Essa partição só é possível em grafos eulerianos
- Queremos encontrar a partição de maior cardinalidade
- Chamamos esse problema de Máxima Partição em Circuitos (*Maximum Eulerian Cycle Decomposition* - MAX-ECD)

Introdução

- Também abordamos o problema da Máxima Partição em Circuitos Alternados (*Maximum Alternating-Cycle Decomposition* - MAX-ACD)
- Nesse problema, as arestas possuem cor e os circuitos devem possuir arestas com cores alternadas
- Ambos, MAX-ECD e MAX-ACD, são NP-difícil [2]
- Chen [4] apresentou algoritmos para o problema da Ordenação por Rearranjos que tem o MAX-ACD como subproblema
- Algoritmos de Ordenação por Rearranjos são frequentemente usados no estudo da distância evolucionária entre espécies

Fundamentação Teórica

- $G = (V, E)$
- Subgrafo
- Trilha e Caminho
- Circuito e Ciclo
- Grafo euleriano
- Partição em circuitos

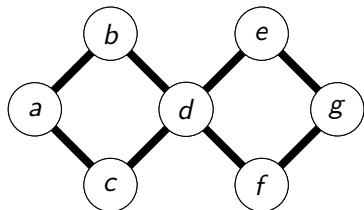


Figura: Exemplo de um grafo com 7 vértices e 8 arestas.

Grafos Bicoloridos

- $G = (V, P \cup C)$
- Circuito alternado

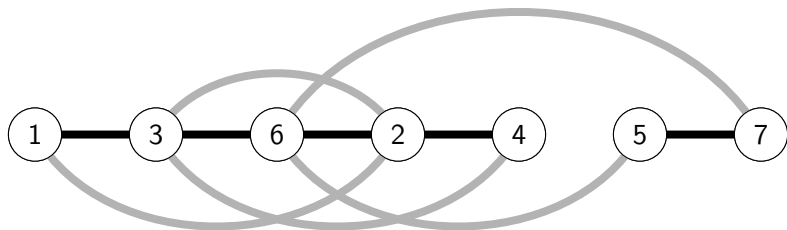


Figura: Exemplo de um grafo bicolorido.

Máxima Partição em Circuitos (MAX-ECD)

Máxima Partição em Circuitos

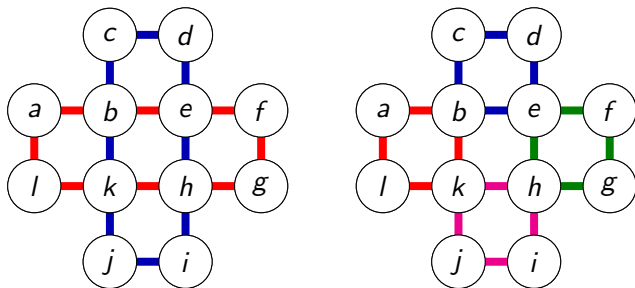


Figura: Exemplos de partições em circuitos de um grafo.

Máxima Partição em Circuitos

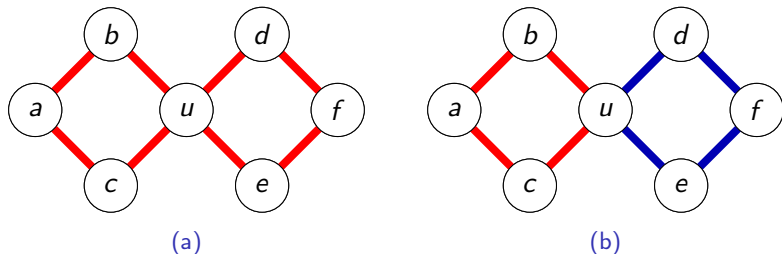


Figura: Exemplo de melhora na solução do MAX-ECD substituindo um circuito com repetição de vértices em (a) por dois ciclos em (b).

- Primal [3]:

$$\max \sum_{C \in \mathcal{C}} x_C \quad (1)$$

sujeito a:

$$\sum_{C \in \mathcal{C}_e} x_C \leq 1, \quad \forall e \in E \quad (2)$$

$$x_C \in \{0, 1\}, \quad \forall C \in \mathcal{C} \quad (3)$$

- Geração de Colunas e *Branch & Price* (B&P)

- Dual:

$$\min \sum_{e \in E} y_e \quad (1)$$

sujeito a:

$$\sum_{e \in C} y_e \geq 1, \quad \forall C \in \mathcal{C} \quad (2)$$

$$y_e \geq 0, \quad \forall e \in E \quad (3)$$

- Encontrar o ciclo mínimo

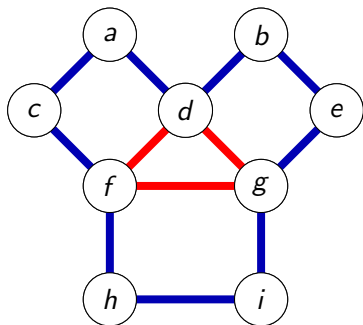
- *Branch & Bound (B&B)*
 - Variáveis com valores fixos
- Variáveis com valor 1
- Variáveis com valor 0
 - Variáveis $x_{C_1}, x_{C_2}, \dots, x_{C_k}$ com valor 0
 - Criamos cópias G_{z_1, z_2, \dots, z_k}
 - $G_{1,1,\dots,1}$
 - $G_{2,1,\dots,1}$
 - $G_{3,1,\dots,1}$
 - $G_{1,2,\dots,1}$
 - $G_{2,2,\dots,1}$
 - $G_{|C_1|, |C_2|, \dots, |C_k|}$

Heurística Gulosa

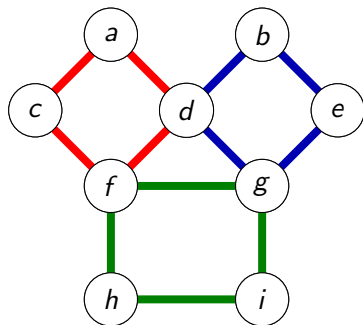
Algoritmo 1 Heurística gulosa para o MAX-ECD

```
1: função HEURÍSTICA-GULOSA( $G = (V, E)$ )
2:    $\mathcal{H} \leftarrow \emptyset$ 
3:   enquanto  $|E| > 0$  faça
4:     Escolha um vértice  $v$ 
5:      $C \leftarrow$  Ciclo-Mínimo( $G, v$ )
6:      $\mathcal{H} \leftarrow \mathcal{H} \cup \{C\}$ 
7:      $E \leftarrow E \setminus \{C\}$ 
8:   fim enquanto
9:   devolve  $\mathcal{H}$ 
10: fim função
```

Heurística Gulosa



(a)



(b)

Figura: Soluções distintas da heurística gulosa para o mesmo grafo alterando o vértice escolhido em cada passo (linha 4).

Heurística PLI

- $\mathcal{C}' \subset \mathcal{C}$

$$\max \sum_{C \in \mathcal{C}'} x_C \quad (1)$$

sujeito a:

$$\sum_{C \in \mathcal{C}'_e} x_C \leq 1, \quad \forall e \in E \quad (2)$$

$$x_C \in \{0, 1\}, \quad \forall C \in \mathcal{C}' \quad (3)$$

Heurística PLI

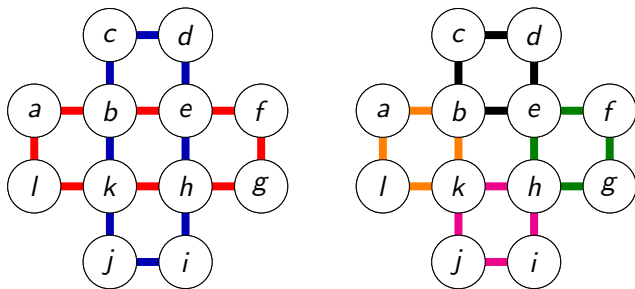


Figura: Ciclos de um conjunto C' da heurística PLI em que a solução ótima não é uma partição.

Ambiente Computacional

- Para cada $n \in \{10, 20, \dots, 90, 100\}$ e $d \in \{0.1, 0.2, 0.3, 0.4, 0.5\}$, criamos um conjunto contendo 20 grafos
 - Algoritmo de Hakimi [6]
- Processador Intel Core i7-8700T CPU com 12 núcleos de 2.40 GHz
- Memória RAM de 8 GB
- Sistema operacional Ubuntu 18.04.3
- Tempo limite de 1800 segundos
- Resolvedor PL: Gurobi 8.1.1 [5]
- Resolvedor PLI (*B&P*): SCIP 6.0.2 [1]
- Resolvedor PLI: Gurobi 8.1.1

Resultados dos Experimentos

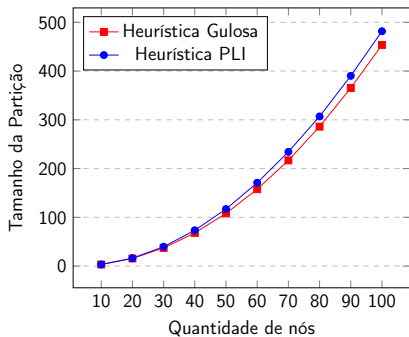
n \ d	10%	20%	30%	40%	50%
10	100	100	100	100	100
20	100	100	100	85	100
30	100	95	80	80	60
40	95	65	50	50	35
50	80	20	20	10	0
60	40	5	0	0	0
70	15	0	0	0	0
80	0	0	0	0	0
90	0	0	0	0	0
100	0	0	0	0	0

Tabela: Porcentagem de instâncias resolvidas usando PLI com *B&P*.

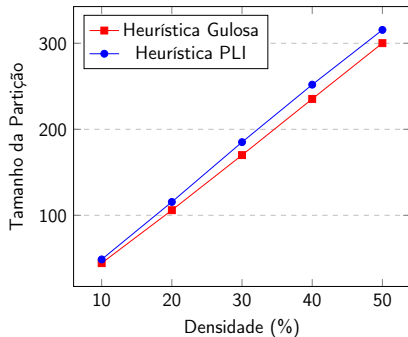
Resultados dos Experimentos

- Muitas instâncias com $n \geq 80$ sem solução no nó raiz da árvore de *B&B*
- Nessas instâncias, 74% do tempo foi gasto no *pricing*
- Para reduzir o tempo gasto no *pricing*, iniciamos o processamento com um conjunto não nulo de variáveis
 - Usamos todos os ciclos de 100 execuções da heurística gulosa
- Para diminuir o tamanho da árvore de *B&B*, visando encontrar mais soluções ótimas, buscamos limitantes primais com as heurísticas

Resultados dos Experimentos



(a)



(b)

Figura: Crescimento dos limitantes primais das heurísticas em relação à (a) quantidade de nós e à (b) densidade da instância.

Resultados dos Experimentos

n	Guloso		PLI		PLI melhorado	
	Média	Máximo	Primal	Ótimo	Primal	Ótimo
10	3.15	3.29	3.29	100%	3.29	100%
20	14.48	15.60	16.17	97%	16.18	100%
30	35.20	37.23	39.63	83%	39.79	100%
40	65.06	68.03	73.00	59%	73.43	95%
50	104.03	108.01	43.26	26%	116.99	91%
60	152.78	157.66	29.85	9%	170.89	82%
70	210.71	216.81	12.25	3%	234.23	53%
80	278.44	286.08	16.39	0%	306.92	41%
90	355.58	365.21	-	-	390.19	26%
100	442.37	453.65	-	-	481.67	9%

Tabela: Número de ciclos nas soluções obtidas do MAX-ECD.

Resultados dos Experimentos

n	Guloso	H_PLI	PLI	PLI 2
10	0.01	0.00	0.00	0.00
20	0.15	0.02	54.95	0.77
30	0.99	0.25	329.72	18.28
40	4.00	2.33	818.97	118.19
50	11.88	13.20	1394.53	173.40
60	27.92	184.92	1653.82	374.16
70	57.97	539.62	1765.97	852.39
80	110.86	1095.82	1800.00	1066.75
90	199.70	1355.89	1800.00	1339.50
100	348.64	1740.37	1800.00	1641.55

Tabela: Tempo de execução para obter as soluções do MAX-ECD.

Resultados dos Experimentos

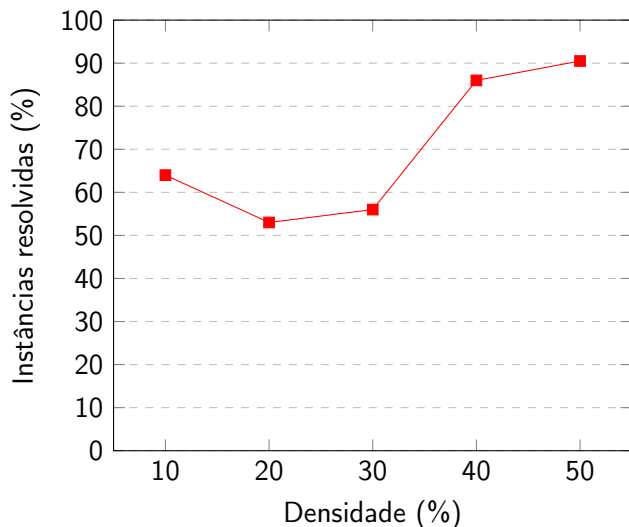


Figura: Percentual de instâncias resolvidas por densidade.

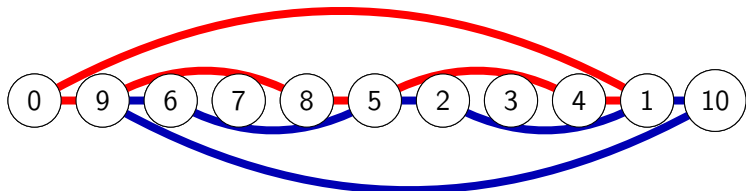
Resultados dos Experimentos

n \ d	10%	20%	30%	40%	50%
10	0.00	0.00	31.67	59.41	67.19
20	0.00	36.81	63.30	81.43	91.87
30	24.34	53.46	75.13	89.19	97.63
40	27.89	60.65	83.40	94.27	99.31
50	34.09	67.29	86.40	98.18	99.93
60	37.41	72.42	92.56	99.41	100.00
70	38.54	75.57	94.89	99.77	99.75
80	42.74	77.85	95.34	99.30	99.33
90	46.10	81.34	97.37	99.45	99.45
100	48.53	83.44	98.45	99.45	99.50

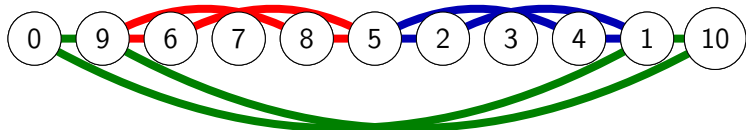
Tabela: Proporção de triângulos das soluções do MAX-ECD retornadas pela heurística PLI.

Máxima Partição em Circuitos Alternados (MAX-ACD)

Máxima Partição em Circuitos Alternados



(a)



(b)

Figura: Exemplos de partições em circuitos alternados de um grafo bicolorido.

Máxima Partição em Circuitos Alternados

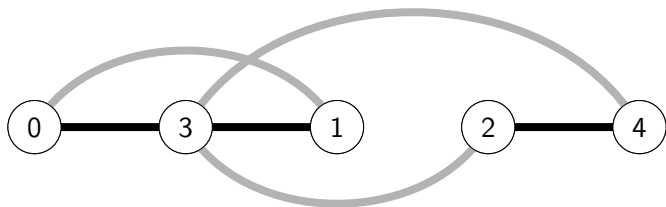


Figura: Exemplo de um grafo bicolorido que exige um circuito para particionar as arestas.

Grafos de *Breakpoint*

- Grafos de *breakpoint* são construídos com base em uma permutação π

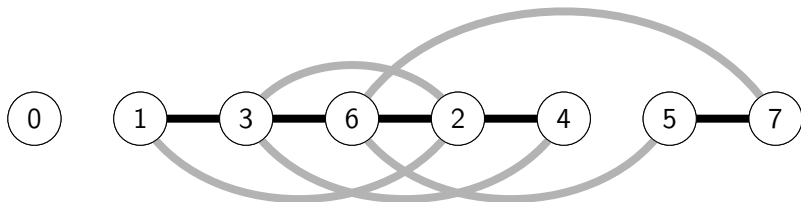


Figura: Exemplo de grafo de *breakpoint* para a permutação $\pi = (1, 3, 6, 2, 4, 5)$.

- Usando MAX-ACD em grafos de *breakpoint*, Lin e Jiang [7] desenvolveram um algoritmo para o problema da Ordenação por Reversão (*Minimum Sorting by Reversals* - MIN-SBR)

Heurística Gulosa

Algoritmo 2 Heurística gulosa para o MAX-ACD

```
1: função HEURÍSTICA-GULOSA( $G = (V, E)$ )
2:    $\mathcal{H} \leftarrow \emptyset$ 
3:   enquanto  $|E| > 0$  faça
4:     Escolha um vértice  $v$ 
5:      $C \leftarrow$  Circuito-Alternado-Mínimo( $G, v$ )
6:      $\mathcal{H} \leftarrow \mathcal{H} \cup \{C\}$ 
7:      $E \leftarrow E \setminus C$ 
8:   fim enquanto
9:   devolve  $\mathcal{H}$ 
10: fim função
```

Heurística Gulosa

- A escolha do vértice na Linha 4 do Algoritmo 2 influencia diretamente no resultado final
- Propomos 4 variações
 - FIRST
 - RANDOM
 - MAX
 - ALL
- Fizemos ainda uma alteração no algoritmo para ter o mesmo fator de aproximação do algoritmo de Lin e Jiang para o MIN-SBR

Heurística Gulosa

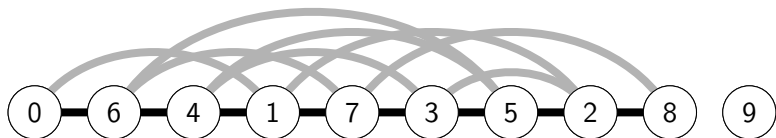


Figura: Exemplo um grafo bicolorido.

Heurística Gulosa

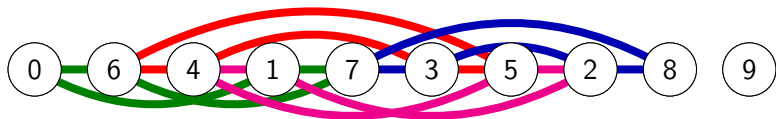


Figura: Solução com as variações FIRST, MAX e ALL.

Heurística Gulosa

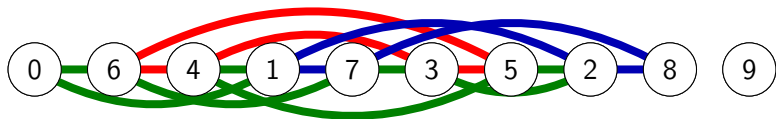


Figura: Solução com a variação RANDOM (vértices escolhidos: 6, 1 e 0).

- Solução inicial dada pela heurística gulosa
- Dois movimentos
 - O primeiro melhora a solução
 - O segundo permite a busca continuar após encontrar um ótimo local

Busca Tabu

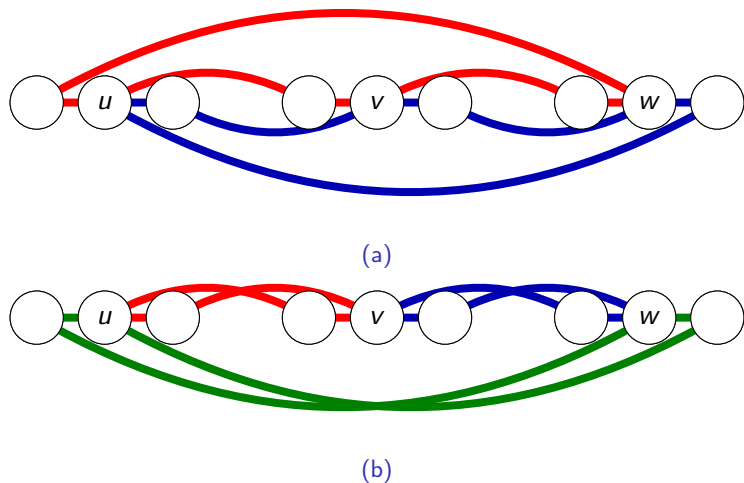
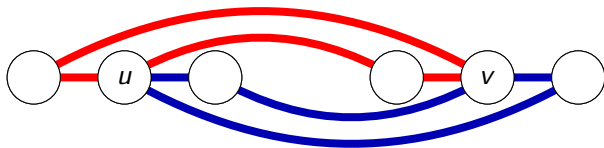
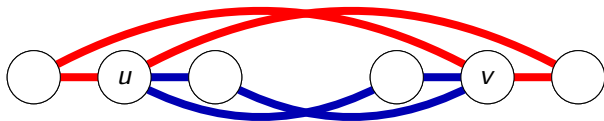


Figura: Exemplo de aplicação do primeiro movimento da Busca Tabu.

Busca Tabu



(a)



(b)

Figura: Exemplo de aplicação do segundo movimento da Busca Tabu.

Modelo PLI

- Modelo semelhante ao do MAX-ECD

$$\max \sum_{C \in \mathcal{C}^0} x_C \quad (1)$$

sujeito a:

$$\sum_{C \in \mathcal{C}_e^0} x_C \leq 1, \quad \forall e \in E \quad (2)$$

$$x_C \in \{0, 1\}, \quad \forall C \in \mathcal{C} \quad (3)$$

- Pequena alteração no algoritmo de *pricing*

- As instâncias são grafos de *breakpoint* baseados em permutações aleatórios com o número máximo de *breakpoints*
 - 100 instâncias para cada valor em $\{10, 20, 30, \dots, 100\}$
- Mesmo ambiente computacional

Resultados dos Experimentos

- Comparamos o algoritmo de Lin e Jiang (L&J) para o MAX-ACD com as heurísticas gulosas e Busca Tabu propostas
- Executamos os experimentos em quatro cenários:
 - 1 Comparando as variações do algoritmo guloso com o algoritmo de L&J
 - 2 Indicando ao algoritmo guloso que deve conter os circuitos curtos que estão na solução do algoritmo de L&J
 - 3 Executando Busca Tabu nos resultados obtidos do experimento 1
 - 4 Executando Busca Tabu nos resultados obtidos do experimento 2

Resultados dos Experimentos

n	Experimento 1					Experimento 2			
	L&J	FIRST	ALL	RANDOM	MAX	FIRST	ALL	RANDOM	MAX
10	4.14	3.99	4.09	3.98	4.14	4.14	4.14	4.14	4.14
20	6.58	6.23	6.63	6.35	6.89	6.75	6.75	6.75	6.75
30	8.01	8.04	8.75	8.27	9.22	8.89	8.90	8.88	8.91
40	9.12	9.98	10.70	10.06	11.39	10.81	10.89	10.84	10.97
50	9.70	11.39	12.75	11.67	13.45	12.61	12.74	12.62	12.97
60	10.20	13.06	14.38	13.20	15.38	14.25	14.47	14.27	14.88
70	10.97	14.45	16.36	14.73	17.13	16.09	16.33	16.02	16.84
80	11.52	15.69	18.16	16.30	19.01	17.77	18.24	17.77	18.95
90	11.73	17.27	19.51	17.60	20.44	19.14	19.63	19.13	20.72
100	12.31	18.35	21.35	19.03	22.17	20.67	21.27	20.71	22.54

Tabela: Número médio de circuitos nas partições retornadas.

Resultados dos Experimentos

n	Experimento 3					Experimento 4			
	L&J	FIRST	ALL	RANDOM	MAX	FIRST	ALL	RANDOM	MAX
10	4.14	4.09	4.12	4.14	4.14	4.14	4.14	4.14	4.14
20	6.76	6.50	6.80	6.89	6.89	6.77	6.77	6.81	6.81
30	8.87	8.54	9.00	9.22	9.22	9.03	9.02	9.13	9.13
40	10.85	10.50	11.12	11.39	11.40	11.08	11.14	11.33	11.33
50	12.55	12.28	13.06	13.45	13.58	12.99	13.08	13.40	13.42
60	14.39	13.97	14.90	15.40	15.61	14.75	14.85	15.34	15.41
70	16.16	15.72	16.78	17.15	17.48	16.60	16.79	17.35	17.41
80	17.90	17.18	18.67	19.11	19.63	18.39	18.77	19.42	19.54
90	19.24	18.65	20.17	20.58	21.33	19.87	20.24	21.14	21.26
100	20.72	20.29	21.96	22.33	23.27	21.56	21.99	22.94	23.14

Tabela: Número médio de circuitos nas partições retornadas.

Resultados dos Experimentos com Ordenação por Rearranjos

n	L&J	FIRST	ALL	RANDOM	MAX
10	6.86	6.86	6.86	6.86	6.86
20	14.42	14.23	14.23	14.19	14.19
30	22.99	21.97	21.98	21.87	21.87
40	31.88	29.92	29.86	29.67	29.67
50	41.30	38.01	37.92	37.60	37.58
60	50.80	46.25	46.15	45.66	45.59
70	60.03	54.40	54.21	53.65	53.59
80	69.48	62.61	62.23	61.58	61.46
90	79.27	71.13	70.76	69.86	69.74
100	88.69	79.44	79.01	78.06	77.86

Tabela: Média das distâncias usando a operação de DCJ.

Resultados dos Experimentos com Ordenação por Rearranjos

n	L&J	FIRST	ALL	RANDOM	MAX
10	6.02	6.23	6.23	6.20	6.21
20	12.16	12.17	12.15	12.06	11.91
30	18.64	17.70	17.79	17.83	17.70
40	25.11	23.17	23.22	23.26	23.24
50	32.86	29.03	28.89	28.83	28.79
60	39.91	33.98	34.26	34.24	33.68
70	46.83	39.48	39.44	39.48	39.04
80	54.69	44.45	44.56	44.74	44.29
90	61.12	49.55	50.10	50.11	49.56
100	68.59	55.04	54.91	55.20	54.13

Tabela: Média das distâncias usando as operações de reversão e transposição.

Considerações Finais

Considerações Finais

- Para o MAX-ECD, desenvolvemos um algoritmo exato, que resolve um modelo PLI, uma heurística gulosa e uma heurística baseada no mesmo modelo PLI
 - Para o algoritmo exato foi necessária a criação de um algoritmo de *pricing*
 - Usando os algoritmos propostos, provamos solução ótima em 69.7% das instâncias testadas
 - Criamos um conjunto de instâncias de testes para o problema
- Artigo: “*Algorithms for the Maximum Eulerian Cycle Decomposition Problem*” (Pedro O. Pinheiro, Alexandro O. Alexandrino, André R. Oliveira, Cid C. de Souza, e Zanoni Dias), *LIII Simpósio Brasileiro de Pesquisa Operacional (SBPO)*, novembro de 2021.

Considerações Finais

- Para o MAX-ACD, desenvolvemos um algoritmo exato com PLI, heurísticas gulosas e uma heurística Busca Tabu
 - Os algoritmos gulosos propostos apresentaram resultados melhores que os do algoritmo de L&J e a Busca Tabu foi capaz de melhorar consistentemente esses resultados
 - Provamos a solução ótima em 96.4% das instâncias testadas
 - Quando aplicados para o problema da Ordenação por Rearranjos, os resultados dos algoritmos propostos foram melhores que L&J
- Artigo: “*Heuristics for Breakpoint Graph Decomposition with Applications in Genome Rearrangement Problems*” (Pedro O. Pinheiro, Alexandro O. Alexandrino, André R. Oliveira, Cid C. de Souza, e Zanoni Dias) [8], *XIII Brazilian Symposium on Bioinformatics (BSB)*, novembro de 2020.

Trabalhos Futuros

- Desenvolver um algoritmo de *pricing* mais eficiente para o *B&P*
- Desenvolver algoritmos baseados na meta-heurística Algoritmos Genéticos para o MAX-ECD
- Desenvolver algoritmos baseados na meta-heurística GRASP para o MAX-ACD

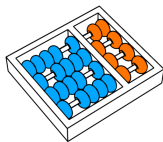
Referências I

- [1] T. Achterberg. SCIP: Solving Constraint Integer Programs. *Mathematical Programming Computation*, 1(1):1–41, 2009.
- [2] A. Caprara. Sorting permutations by reversals and Eulerian cycle decompositions. *SIAM Journal on Discrete Mathematics*, 12(1): 91–110, 1999.
- [3] A. Caprara, A. Panconesi, and R. Rizzi. Packing cycles in undirected graphs. *Journal of Algorithms*, 48(1):239–256, 2003.
- [4] X. Chen. On sorting unsigned permutations by double-cut-and-joins. *Journal of Combinatorial Optimization*, 25(3):339–351, 2013.
- [5] I. Gurobi Optimization. Gurobi Optimizer Reference Manual. URL <http://www.gurobi.com>, 2015.
- [6] S. L. Hakimi. On Realizability of a Set of Integers as Degrees of the Vertices of a Linear Graph. I. *Journal of the Society for Industrial and Applied Mathematics*, 10(3):496–506, 1962.

- [7] G. Lin and T. Jiang. A further improved approximation algorithm for breakpoint graph decomposition. *Journal of Combinatorial Optimization*, 8(2):183–194, 2004.
- [8] P. O. Pinheiro, A. O. Alexandrino, A. R. Oliveira, C. C. de Souza, and Z. Dias. Heuristics for breakpoint graph decomposition with applications in genome rearrangement problems. In *Brazilian Symposium on Bioinformatics (BSB)*, pages 129–140. Springer, 2020.

Partição de Grafos Eulerianos em Circuitos

Pedro Olímpio N. de O. Pinheiro



Orientador: Prof. Dr. Zanoni Dias
Coorientador: Prof. Dr. Cid C. de Souza